

# VĚRNOST BAREVNÉ TISKOVÉ REPRODUKCE

Jan Kaiser

## Abstrakt

Mohu svůj tiskový systém použít pro digitální nátisk vyhovující ISO normě 12647? Je kalibrace systému, kterou jsem si zaplatil, skutečně efektivní? Je reprodukce černobílých fotografií skutečně neutrální? V tomto článku bude prakticky představena metodika, která Vám tyto otázky zodpoví.

## 1 Kritérium barevné věrnosti

Výchozí podmínka barevně věrné reprodukce je rovnost barevnosti originálu a reprodukovaného vzorku, přičemž barevnost je určena vybranými veličinami pro objektivní popis barev. Tedy například trichromatickými složkami X, Y a Z nebo kolorimetrickými koordináty L\*, a\*, b\* popisujícími polohu barvy v nezávislém kolorimetrickém prostoru CIE-L\*a\*b\* (1976). Druhé jmenované budou v tomto článku s výhodou nasazeny, a to z jednoduchého důvodu: kritérium úspěšnosti barevné reprodukce (vyhodnocení kolorimetrického zkreslení) je v teoretických pracích i praktických aplikacích nejčastěji definováno jako vzdálenost polohy originální a reprodukované barvy právě v kolorimetrickém prostoru CIE-L\*a\*b\* (1976). Tato vzdálenost je korektně označována jako  $\Delta E_{Lab}$ , častěji však zkráceně delta(LAB) nebo jen Delta E. Výpočet barevné neshody je realizován následujícím vztahem

$$\Delta E_{Lab} = \sqrt{(L^*_{R} - L^*_{O})^2 + (a^*_{R} - a^*_{O})^2 + (b^*_{R} - b^*_{O})^2} \quad (1)$$

kde  $L^*_{O}$ ,  $a^*_{O}$ ,  $b^*_{O}$  a  $L^*_{R}$ ,  $a^*_{R}$ ,  $b^*_{R}$  jsou  $L^*$ ,  $a^*$ ,  $b^*$  souřadnice originálního a reprodukovaného barevného světla či odrazeného vzorku.

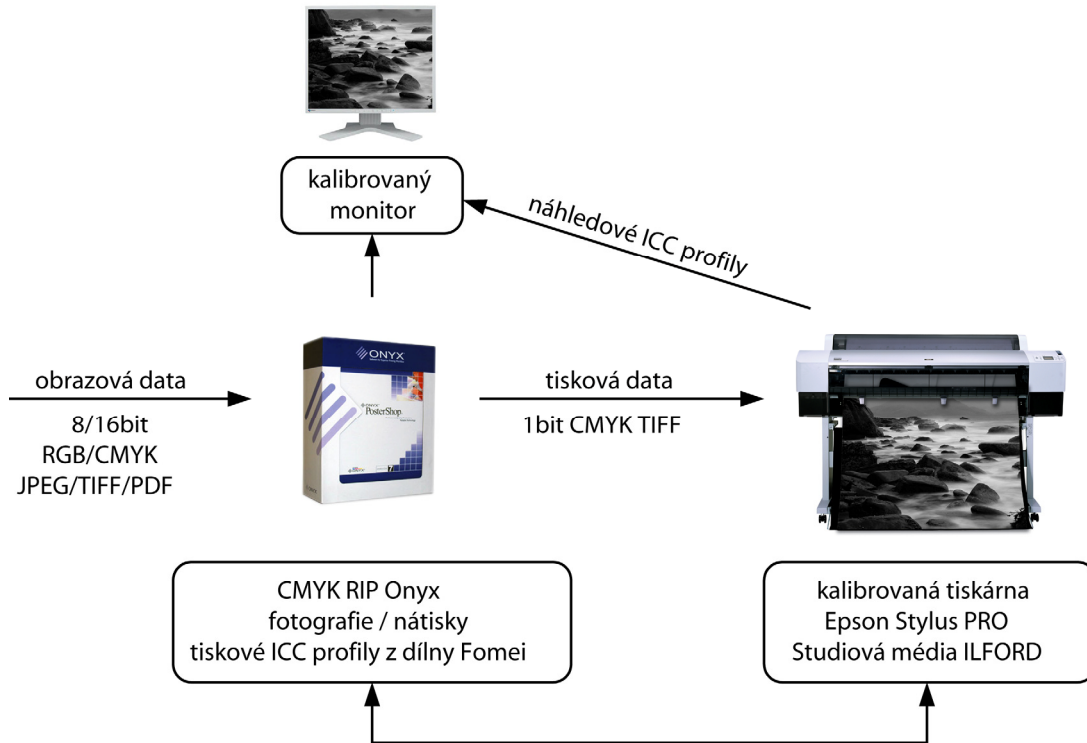
Na základě subjektivních testů s homogenními barevnými vzorky lze prohlásit, že  $\Delta E_{Lab} \approx 1,5$  znamená hranici právě postřehnutelného rozdílu mezi oběma srovnávanými vzorky. U achromatických vzorků je tato hranice ještě níže, u chromatických vzorků je lidský zrakový systém naopak benevolentnější. Na základě subjektivních testů s přirozenými barevnými obrazy (fotografiemi) pozorovanými na kalibrovaném monitoru lze spolehlivě prohlásit, že hranice právě postřehnutelného barevného rozdílu mezi dvěma obrazy odpovídá dvojnásobné hodnotě, tedy přibližně  $\Delta E_{Lab} \approx 3$  [1, kap. 5].

## 2 Konfigurace vyšetřovaného systému

Veškerá zde uvedená měření a výpočty se týkají tiskového systému STUDIO Professional (Obr. 1), jehož podrobnou konfiguraci odhaluje Tab. 1 níže. Technická specifikace testovaného inkjet média je obsahem Tab. 2.

Tabulka 1: KONFIGURACE V TESTU NASAZENÉHO STUDIA PROFESSIONAL

část STUDIA Professional	výrobce
RIP Onyx PosterShop 7v2	ONYX Graphics
Ink-jet médium Ilford OmniJet Pearl P255	ILFORD Imaging Switzerland GmbH
Tiskárna Epson Stylus PRO 9880	Seiko Epson Corporation
Inkousty Epson UltraChrome K3 Vivid Magenta	Seiko Epson Corporation
Měřící a výpočetní sw&hw – GretagMacbeth / Matlab	Gretag-Macbeth GmbH / The MathWorks
Kalibrace a profilace médií&tiskárny a monitoru	Fomei a.s.



Obr. 1: Tok barvové informace ve STUDIU Professional

Tabulka 2: MÉDIUM ILFORD OMNIJET PEARL 255

parametr	hodnota	norma
gramáž	255 g/m <sup>2</sup>	ISO 536
tloušťka	0.265 mm (10 mil)	ISO 534
odstín (CIE-L*a*b*)	95.5, -0.4, -4.5	D50, 2° pozorovatel
lesk 60°	24 %	ISO 8254-3
opacita	> 98.5 %	ISO 2471

### 3 Měřící podmínky a vybavení

Teplota: 22 až 24 °C

Vlhkost: 48 až 58% RH

Spektrofotometr Gretag Macbeth (X-rite) i1 Pro (bez UV filtru)

Měřící stůl Gretag Macbeth (X-rite) iO

sw Profile Maker Pro, sw Matlab

### 4 Metodika

Pro celé hodnocení byl zvolen následující předpoklad: Barevný prostor reprodukovatelný na vyšetřované médium pokrývá barevný prostor standardu ISO Coated v2 (ISO Coated v2 je podmnožinou). Vzhledem k vlastnostem inkoustů UltraChrome K3 Vivid Magenta a médiu OmniJet Pearl P255 je to předpoklad spolehlivě splnitelný.

Přesnost (věrnost) reprodukce byla ověřována ve třech etapách:

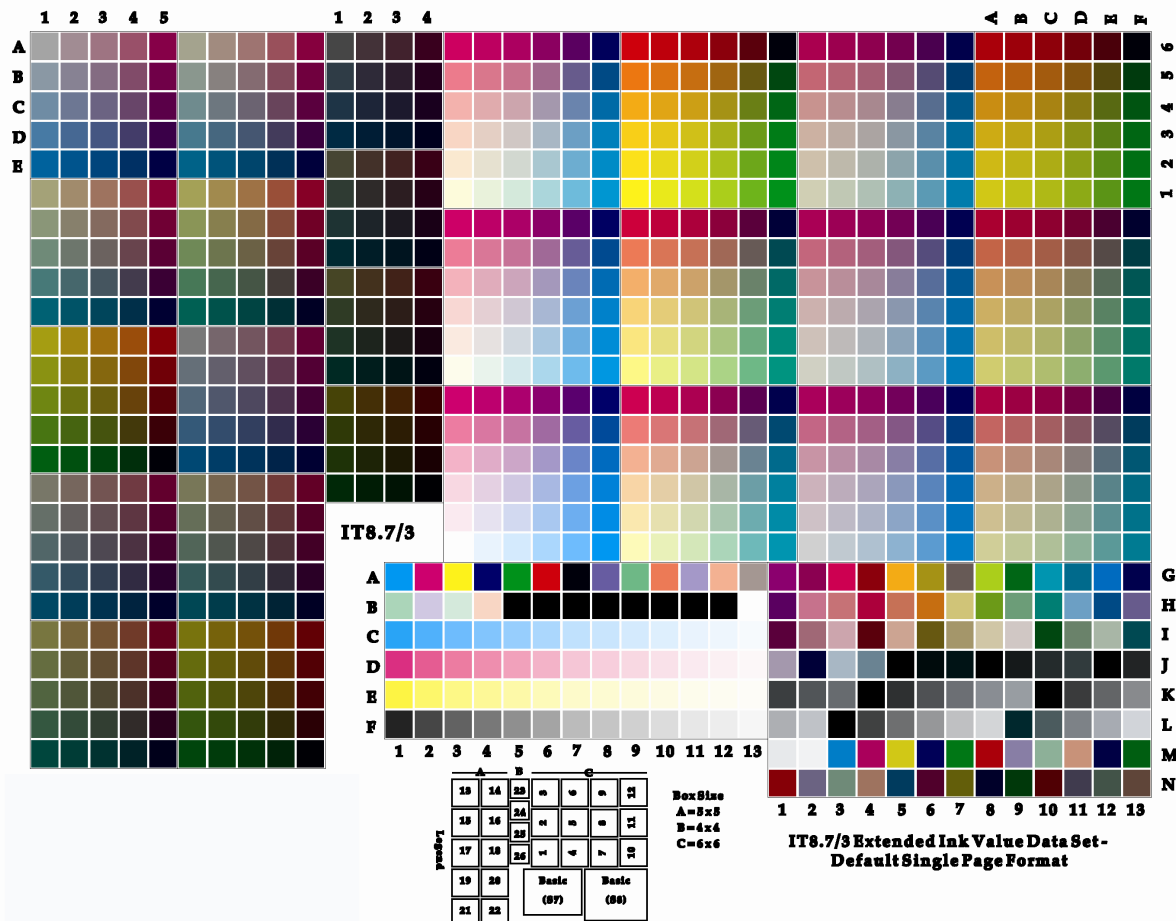
- tisk ze CMYKových dat (ISO Coated v2)
- tisk z RGB dat (sRGB)
- tisk šedotónové škály z RGB dat (Adobe RGB (1998))

Originálem jsou tedy elektronické CMYK nebo RGB předlohy se vzorky barevně objektivně popsanými kolorimetrickými souřadnicemi  $L^*_o$ ,  $a^*_o$ ,  $b^*_o$  (souřadnice prostoru CIE-L\*a\*b\*). Reprodukcí je výtisk těchto vzorků, přičemž jednotlivé vzorky jsou proměny spektrofotometrem a ze spektrálních průběhů jsou vypočteny souřadnice  $L^*_R$ ,  $a^*_R$ ,  $b^*_R$ . Čím více budou od sebe vzdáleny body originálu od reprodukce v prostoru CIE-L\*a\*b\* (čím vyšší bude Delta E), tím vyšším kolorimetrickým zkreslením je daná reprodukce zatížena a daný systém ztrácí punc kvalitně kalibrovaného a profilovaného.

## 5 Postup měření – reprodukce CMYK dat

Standardizovanému terči IT8.7-3 CMYK Target.tif (Obr. 2) byl přiřazen profil ISO Coated v2 a následně byl absolutně kolorimetrickou metodou dvakrát vytisknout na vyšetřovaný papír (při nasazení základního profilu daného papíru).

Oba terče byly po dokonalém uzrání spektrálně změny a byl vypočítán jejich aritmetický průměr. Dvojnásobným tiskem, měřením a následným průměrováním byla dále minimalizována chyba objektivního hodnocení. Změněné a vypočtené výsledky byly porovnány s originálními (referenčními) daty ISO Coated v2 v kolorimetrickém prostoru CIE L\*a\*b\* a byly stanoveny kolorimetrické odchylky – viz. Tab. 3.



Obr. 2: Profilační terč IT8.7-3 CMYK Target

Tabulka 3: VÝSLEDKY MĚŘENÍ NAD TERČEM Z OBR. 2 – SEPARACE CMYK TO CMYK

$Av(\Delta E_{Lab})$ total / best 90% / worst 10%	1.71 / 1.51 / 3.50
$\sigma(\Delta E_{Lab})$ total / best 90% / worst 10%	0.86 / 0.60 / 0.80
$Max(\Delta E_{Lab})$ total / best 90%	6.82 / 2.70

Z Tab. 3 plyne, že simulace (věrnost reprodukce) barev obsažených v prostoru ISO Coated v2 (natíraná křída) je při tisku ze CMYKu v daném systému zatížena průměrnou chybou  $\Delta E_{CIE-Lab} = 1.71$  a maximální chybou  $MaxE_{CIE-Lab} = 6.82$ . Průměrná chyba nižší než 3 a maximální chyba nižší než 10 indikují kvalitní, věrnou reprodukci. Vyšetřovaný tiskový systém je tedy schopen velmi přesně simulovat offsetový tisk na natíraný papír a má tedy plné uplatnění v předtiskové přípravě.

## 6 Postup měření – reprodukce RGB dat

Standardizovanému terči IT8.7-3 CMYK Target.tif (Obr. 2) byl přiřazen profil ISO Coated v2 a následně byl absolutně kolorimetrickou metodou převeden do prostoru sRGB a poté dvakrát vytisknán na vyšetřovaný papír (při nasazení zákaznického profilu daného papíru a zvolené absolutní kolorimetrické metodě přepočtu). Tak byla korektně testována separace RGB to CMYK – tisk z RGB dat, která však leží uvnitř prostoru ISO Coated v2.

Oba terče byly opět po dokonalém uzrání spektrálně změřeny a byl vypočítán jejich aritmetický průměr. Dvojnásobným tiskem, měřením a následným průměrováním byla dále minimalizována chyba objektivního hodnocení. Referenční data byla získána absolutně kolorimetrickým převodem ISO Coated v2 → sRGB. Změřené a vypočtené výsledky byly porovnány s referenčními daty v kolorimetrickém prostoru CIE-L\*a\*b\* a byly stanoveny kolorimetrické odchylky – viz. Tab. 4.

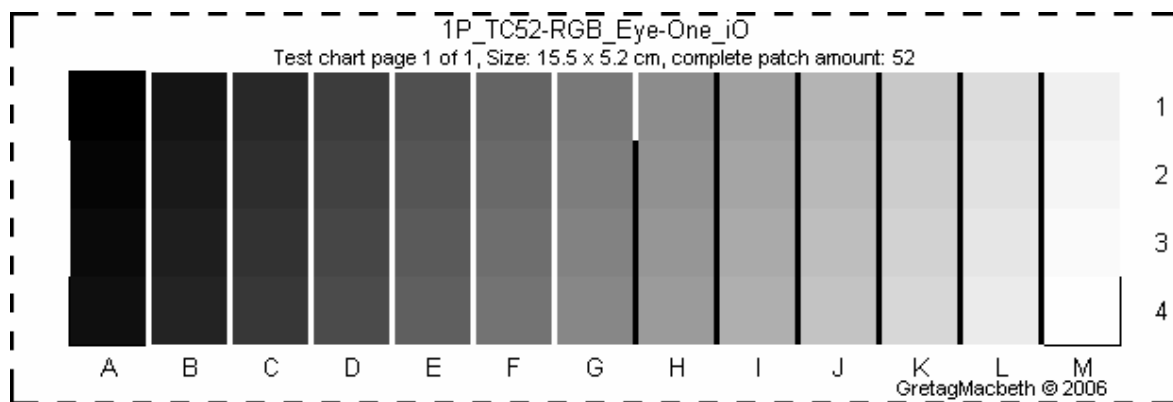
Tabulka 4: VÝSLEDKY MĚŘENÍ NAD TERČEM Z OBR. 2 – SEPARACE RGB TO CMYK

$Av(\Delta E_{Lab})$ total / best 90% / worst 10%	1.87 / 1.69 / 3.51
$\sigma(\Delta E_{Lab})$ total / best 90% / worst 10%	0.80 / 0.57 / 0.66
$Max(\Delta E_{Lab})$ total / best 90%	5.86 / 2.85

Z uvedené tabulky plyne, že tisk z RGB dat (ležících uvnitř barvového prostoru ISO Coated v2) je zatížen průměrnou chybou  $\Delta E_{CIE-Lab} = 1.87$  a maximální chybou  $MaxE_{CIE-Lab} = 5.86$ . V souhrnu výsledků v Tab. 4 lze opět najít i další metriky. Uvedené chyby opět dokazují preciznost reprodukce na médium Ilford OmniJet Pearl P255 v systému STUDIO Professional.

## 7 Postup měření – reprodukce šedotónové škály

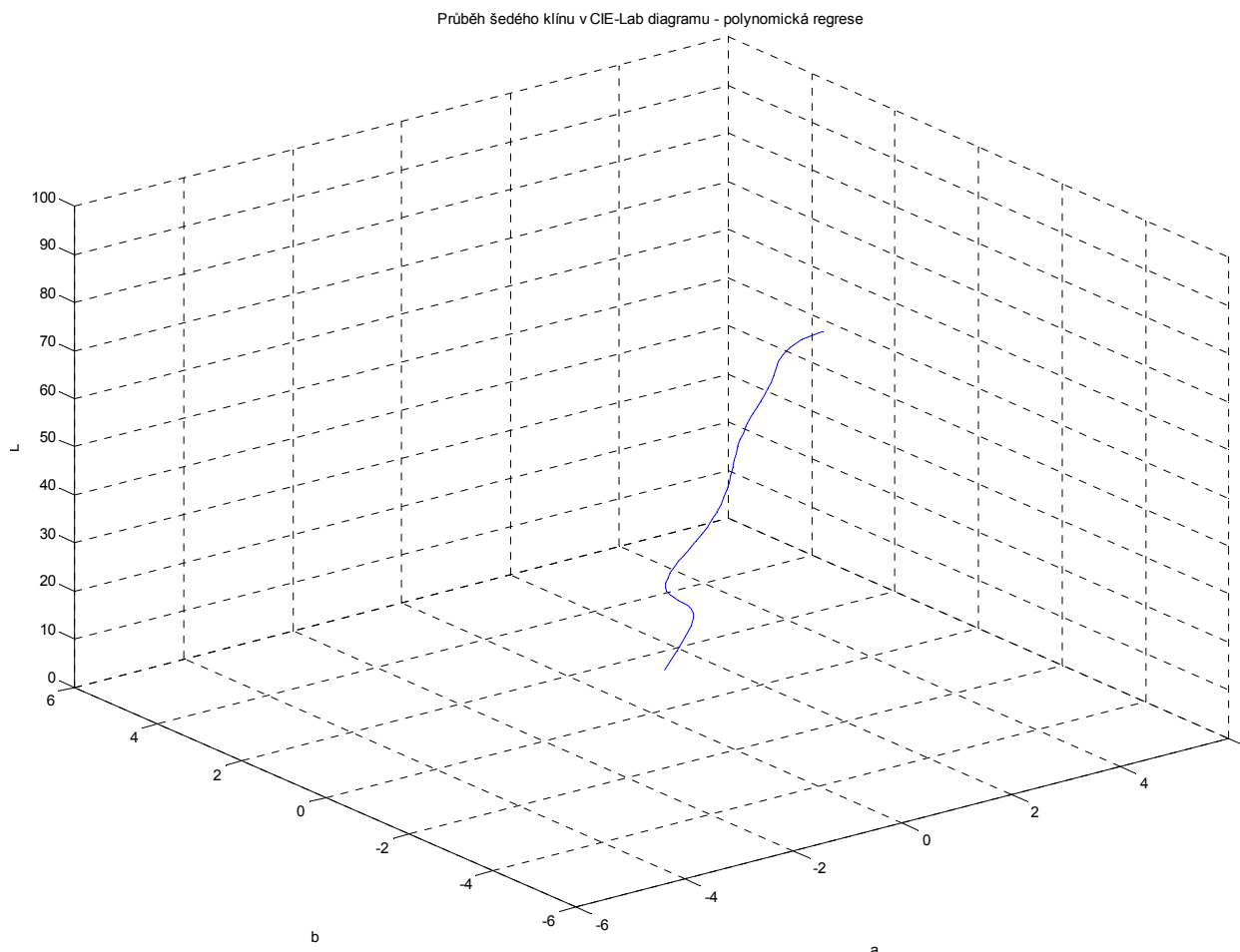
Posledním typem vyšetřovaných dat je šedotónový klín definovaný v prostoru Adobe RGB (1998) čítající 52 polí s lineárním přírůstkem v kolorimetrickém prostoru CIE L\*a\*b\* - viz. Obr. 3. níže. Jedná se o kritické měření, je-li daný tiskový využíván k reprodukci čb fotografií a grafiky (tedy ne jen k nátku). Šedotónový klín byl vytisknán opět dvakrát, a to využitím perceptuální metody. Tak byla totiž otěstována RGB → CMYK separace reálně užívaná k „fotografickému tisku“. Oba výtisky byly opět proměřeny a zprůměrovány.



Obr. 3: Terč pro testování věrnosti čb reprodukce

Výsledek měření – křivka v 3D prostoru nepředstavuje nejvhodnější interpretaci, proto jsou vedle 3D zobrazení v CIE L\*a\*b\* prostoru uvedeny i průměty do rovin L\*a\* a L\*b\* a je zkoumán také průběh samotné osy L\*. Tyto průměty jsou navíc publikovány ve dvou variantách – a) originální měření (bez interpolace či regrese), b) polynomická regrese osmého řádu z naměřených dat.

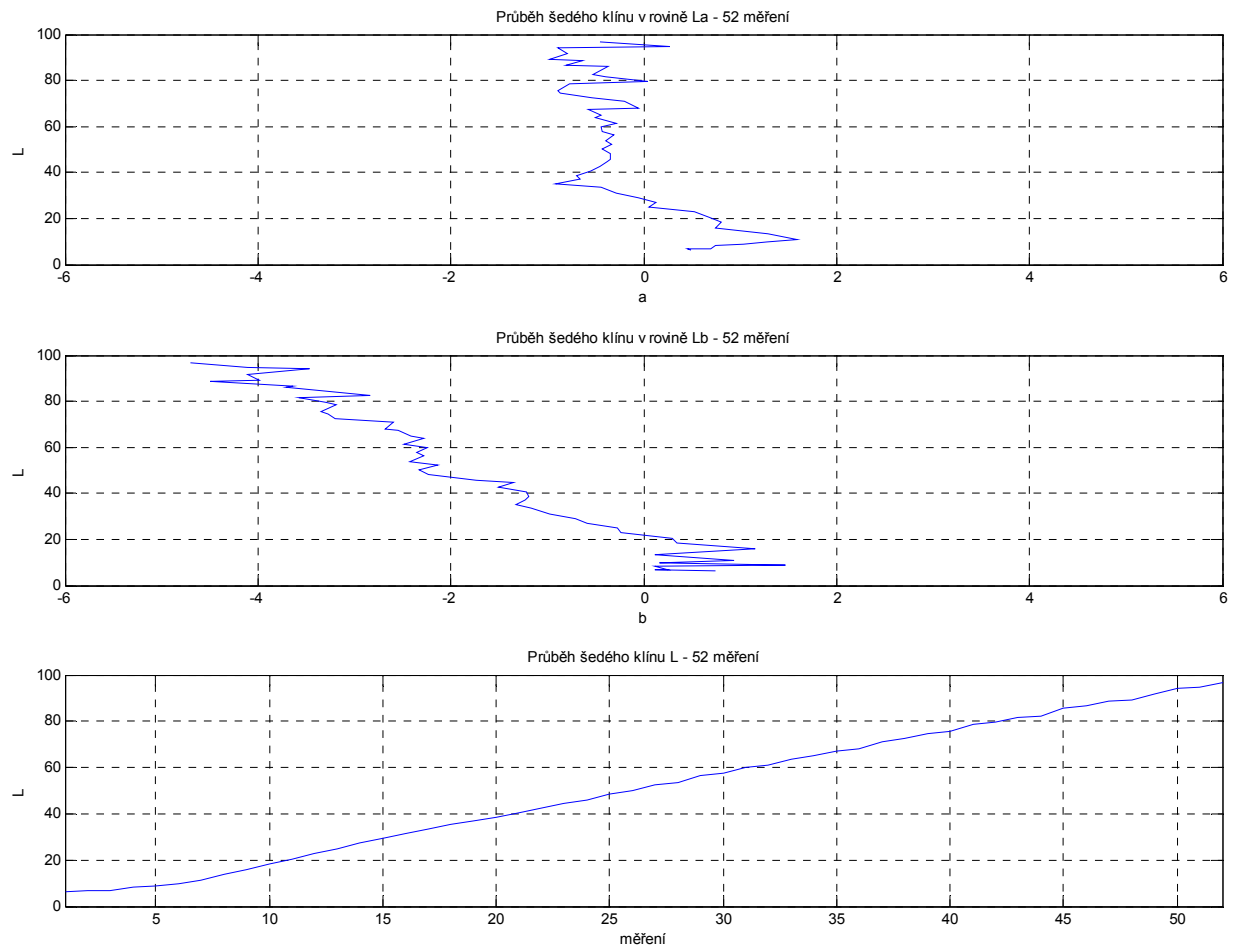
Na Obr. 4 je vynesen průběh šedotónového klínu v kolorimetrickém prostoru CIE L\*a\*b\*. Jedná se o polynomickou regresi osmého řádu. Čím více se křivka svým průběhem odchyluje od přímky, tím je subjektivně čb reprodukce hodnocena jako méně a méně věrná – s barevným nádechem nebo barevnými „ústřely“ v určitých rozsazích jasů.



Obr. 4: Průběh šedotónového klínu v kolorimetrickém prostoru CIE L\*a\*b\*

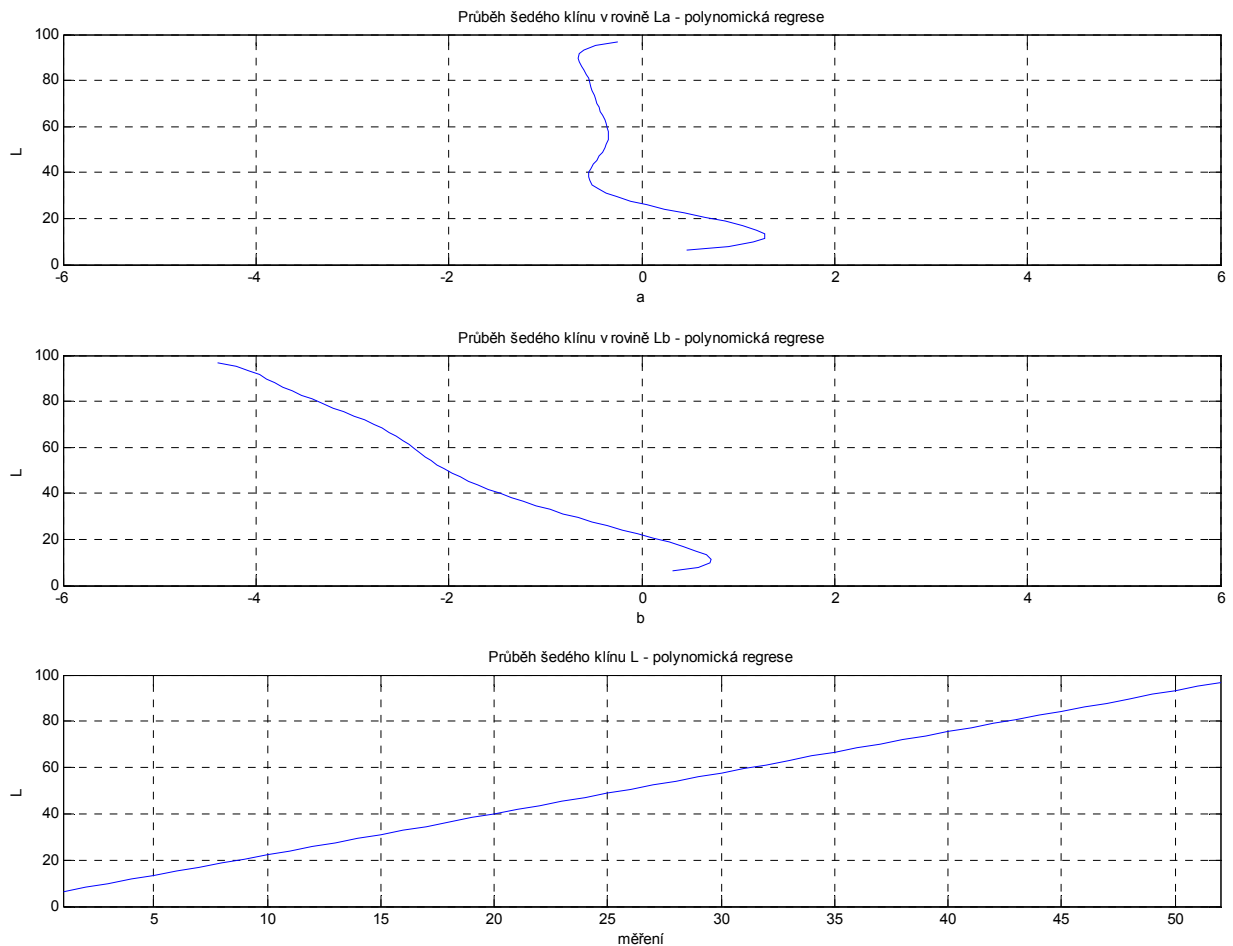
Průměty křivky z Obr. 4., která demonstrouje neutrálnost reprodukce achromatických dat ( $a^*=b^*=0$ ), najdeme na Obr. 5 (originální měření) a Obr. 6 (polynomická regrese). Vyneseny jsou průměty do rovin L\*a\* a L\*b\* a je zkoumán také průběh samotné osy L\* - v ideálním případě by se jednalo o lineární monotónně rostoucí funkci.

Srovnáme-li objektivní měření se subjektivním hodnocením vytištěných terčů a fotografií, polynomickou regresi jako nástroj pro zpřehlednění interpretace naměřených dat lze jednoznačně doporučit pro případ průmětů do rovin L\*a\* a L\*b\*. V případě detailního rozboru průběhu luminanční osy L\* již polynomická regrese „smaže“ důležitou informaci v počátku – pomalejší nárůst (porovnej spodní grafy z Obr. 5 a 6).



Obr. 5: Originální naměřená data  
horní graf – průběh průmětu šedotónového klínu do roviny CIE  $L^*a^*$ ;  
prostřední graf – průběh průmětu šedotónového klínu do roviny CIE  $L^*b^*$ ;  
spodní graf – průběh naměřených dat v ose CIE  $L^*$

Z jednotlivých průmětů lze jednoduše usoudit klady a úskalí zvoleného profilačního algoritmu. Teoretický (lineární) průběh je nejlépe dodržen v jasové složce  $L^*$ , na druhé místo se řadí neutrálnost v barvové ose  $a^*$  (červeno-zelená), nejobtížněji je pak neutrálnost dodržena v barvové ose  $b^*$  (žluto-modrá). Vzhledem k současném stavu měřící techniky a profilačních algoritmů se však jedná o velmi úspěšně kalibrovaný a profilovaný tiskový systém, kdy tiskové výstupy jsou subjektivně hodnoceny výborně [1, str. 87].



Obr. 6: Polynomická regrese osmého řádu  
horní graf – průběh průmětu šedotónového klínu do roviny CIE  $L^*a^*$ ;  
prostřední graf – průběh průmětu šedotónového klínu do roviny CIE  $L^*b^*$ ;  
spodní graf – regresní průběh naměřených dat v ose  $L^*$

## 8 Diskuze a závěr

Inkjet médium Ilford OmniJet Pearl P255 je v systému STUDIO Professional precizně kalibrované a separace CMYK → CMYK i RGB → CMYK jsou v daném RIPu bezproblémové.

Pokud by byly výše uvedené chyby přibližně dvojnásobné, reprodukci by již nebylo možné označit za věrnou a nesplňovala by kritéria ISO normy o digitálním nátkusu. Takové chyby by ukazovaly na jednu z pravděpodobných příčin barevně nevěrné reprodukce:

- a) nepřesnost sondy, pomocí které vznikal vyšetřovaný tiskový profil nebo
- b) nevhodně zvolený algoritmus měření / generování vyšetřovaného tiskového profilu.

Z charakteru výsledku lze dále rozpozнат, zda se jedná o chybu nahodilou či systematickou. Jestliže je např. profilace vyšetřovaného tiskového systému přesná „sama na sebe“, tj. při absolutní kolorimetrické konverzi CIE  $L^*b^*$  → ICC profil → CIE  $L^*b^*$  dojde k malému a uniformnímu barevnému zkreslení, avšak nátkus ISO Coated v2 → ICC profil → CIE  $L^*b^*$  vykazuje rušivé kolorimetrické zkreslení, jedná se o nevhodně zvolený algoritmus měření / generování ICC profilu se zavlečenou systematickou chybou.

Přesnost reprodukce při absolutně kolorimetrickém přístupu (odst. 5 a 6) již předurčuje i kvalitní reprodukci při perceptuálním (fotografickém) přístupu, což nakonec bylo v odst. 7 ověřeno.

## Použité zdroje

- [1] J. Kaiser. *Colorimetric Aspects of the Future Imaging Systems*. Ph.D. thesis, FEE CTU in Prague, 2005.
  - [2] J. Kaiser, K. Fliegel, A. Vajčner. *Certifikáty kvality systému STUDIO Professional*, dokument Fomei a.s., 2007
- 

Jan Kaiser  
Fomei a.s.  
Digital Color Imaging  
Machkova 587  
500 11 Hradec Králové  
Czech Republic

[www.fomei.com](http://www.fomei.com)  
[Kaiser@fomei.com](mailto:Kaiser@fomei.com)

tel: +420 495 056 315  
gsm: +420 603 587 898